

بِسْمِ اللّٰهِ الرَّحْمٰنِ الرَّحِيْمِ



دانشگاه صنعتی اصفهان

دانشکده فیزیک

بررسی پارامترهای موثر در آواردرخش تک حبابی با استفاده از مدل هیدروشیمیابی

پایان نامه کارشناسی ارشد فیزیک

مریم حسنوند

استاد راهنما

دکتر سید ظفرالله کلانتری



دانشگاه صنعتی اصفهان

دانشکده فیزیک

پایان نامه کارشناسی ارشد رشته فیزیک خانم مریم حسنوند
تحت عنوان

**بررسی پارامترهای موثر بر آودرخش تک حبابی
با استفاده از مدل هیدروشیمیایی**

در تاریخ ۱۳۸۶/۱۱/۲۷ توسط کمیته تخصصی زیر مورد بررسی و تصویب نهایی قرار گرفت.

دکتر سید ظفرالله کلانتری

۱- استاد راهنمای پایان نامه

دکتر کیوان آقا بابایی سامانی

۲- استاد مشاور پایان نامه

دکتر محمد حسن علامت‌ساز

۳- استاد داور پایان نامه

دکتر اکبر پروازیان

۴- استاد مدعو

دکتر سید ظفرالله کلانتری

سرپرست تحصیلات تکمیلی

کلیه حقوق مادی مترتب بر نتایج مطالعات، ابتکارات و
نوآوری‌های ناشی از تحقیق موضوع این پایان‌نامه متعلق
به دانشگاه صنعتی اصفهان است.

خداآوند بزرگ را به خاطر همه نعمت‌هایی که به ما ارزانی داشته سپاگزارم. نعمت یادگیری و معرفت خویش را. از پدر و مادر عزیز و خانواده صبورم به خاطر حمایت‌های همیشگی شان تشکر می‌کنم.

از استاد ارجمند جناب آقای دکتر کلانتری که در انجام پایان‌نامه از راهنمایی‌ها و مساعدت‌هایی‌شان بهره‌مند بودم سپاسگزارم همچنین از جناب آقای دکتر سامانی به خاطر رهنمودهای ارزنده‌شان. از جناب آقای دکتر پروازیان و آقای دکتر علامت‌ساز که زحمت بازخوانی و داوری این پایان‌نامه را به عهده داشتند کمال تشکر را دارم. از سایر اساتید گروه فیزیک دانشگاه صنعتی اصفهان که افتخار شاگردی آنها را داشتم بسیار سپاسگزارم. از تمامی دوستان خوبم خصوصا خانم‌ها مهندس ناطقی نی، مهندس خان‌محمدی، مهندس فتوکیان و خانم یگانه که روزگاری پر از خاطره را در کنارشان سپری کردم ممنونم.

مریم حسنوند
بهمن ۱۳۸۶

تقدیم به

پدر و مادر عزیزم

فهرست مطالب

<u>صفحه</u>	<u>عنوان</u>
.....	فهرست مطالب
..... هشت	فهرست اشکال
..... ۵	فهرست جداول
..... دوازده	چکیده
..... ۱	

فصل اول: مقدمه

..... ۲	۱-۱- پیش گفتار
..... ۳	۱-۲- تاریخچه
..... ۴	۱-۳- آواردرخش تک حبابی
..... ۶	۱-۴- کاربردها

فصل دوم: بحث نظری دینامیک حباب

..... ۸	۲-۱- تعاریف
..... ۹	۲-۲- معادله رایلی- پلست
..... ۱۱	۲-۳- معادله حالت
..... ۱۳	۲-۴- انتقال جرم
..... ۱۴	۲-۴-۱- پخش یکسوزیه
..... ۱۷	۲-۵- واکنش های شیمیایی
..... ۱۸	۲-۶- موازنۀ انرژی
..... ۲۰	۲-۷- ناپایداری سطحی
..... ۲۰	۲-۷-۱- معادلات دینامیکی
..... ۲۲	۲-۷-۲- ناپایداری پارامتری
..... ۲۲	۲-۷-۳- ناپایداری پس جهش
..... ۲۲	۲-۷-۴- ناپایداری رایلی - تیلور
..... ۲۴	۲-۸- ساز و کارهای گسل نور
..... ۲۴	۲-۸-۱- نظریه های MBSL : تخلیه الکتریکی در مقابل نظریه های نقطۀ نورانی
..... ۲۵	۲-۸-۲- نظریه های مرتبط با SBSL
..... ۲۸	۲-۸-۳- تابش جسم سیاه و مقایسه آن با SBSL
..... ۲۹	۲-۸-۴- مدل تابش ترمزی

فصل سوم: شبیه‌سازی دینامیک حباب

۳۳	۱-۱- مدل هیدروشیمیابی
۳۵	۲-۲- روش عددی
۳۷	۳-۳- نمودارهای فاز آودرخش تک حبابی
۴۳	۴-۴- وابستگی پaramتری شدت نور
۴۳	۱-۴-۱- اثرات تغییر دمای مایع
۵۲	۲-۴-۲- اثرات فشار هیدروستاتیکی
۵۴	۳-۴-۳- اثرات دامنه فشار تحریکی
۵۵	۴-۴-۴- اثرات مایع

فصل چهارم: نتیجه‌گیری و پیشنهادها

۵۷	۱-۱- نتیجه‌گیری
۵۸	۲-۲- پیشنهادها
۶۰	منابع

فهرست اشکال

صفحه	عنوان
۴	شکل ۱-۲-نمایی از یک پیکربندی آودرخش
۵	شکل ۱-۱-افزایش دامنه فشار صوتی تا حد آستانه به گسیل نور می انجامد.
۶	شکل ۱-۳-تابندگی ناشی از پدیده آودرخش بر حسب طول موج
۱۵	شکل ۱-۲-نمودار شعاع - زمان - فشار تحریکی برای مقادیر تجربی و محاسباتی
۲۳	شکل ۲-۲-دیاگرام فاز آودرخش آرگون
۲۷	شکل ۲-۳-دینامیک حباب دینامیک دمای درون حباب SBSL
۲۸	شکل ۲-۴-اندازه گیری پهنهای پالس SBSL
۳۹	شکل ۳-۱-دیاگرام فاز در صفحه (P_a, R_0)
۴۱	شکل ۳-۲-دیاگرام فاز در صفحه $(P_{air} / P^*, P_a)$
۴۲	شکل ۳-۳-دیاگرام فاز تجربی در فضای پارامتری (P_a, R_0)
۴۳	شکل ۳-۴-نتایج تجربی ماکریم تعداد فوتونهای قابل دستیابی، N^{max} ، برای SBSL در دماهای مختلف سیال مرجع
۴۴	شکل ۳-۵-ماکریم دامنه فشار اعمالی برای SBSL پایدار بر حسب تابعی از دمای آب
۴۵	شکل ۳-۶-نمودار شعاع - زمان سه حباب SBSL آرگون در فشار جزئی گازی اثر در آب $30 kHz$ و فرکانس $40 kHz$ و دامنه فشار تحریکی $P_a = 1/10^6 atm$ در سه دمای سیال
۴۶	شکل ۳-۷-تعداد کل مولکولهای درون یک حباب آرگون در آب بر حسب زمان در یک سیکل صوتی برای دماهای مختلف
۴۷	شکل ۳-۸-تعداد مولکولهای آب درون یک حباب آرگون در آب بر حسب زمان در یک سیکل صوتی برای دماهای مختلف
۴۸	شکل ۳-۹-نمودار دما - زمان برای سه حباب آرگون در آب در سه دمای محيطی در فرکانس $26/5 kHz$
۵۰	شکل ۳-۱۰-نمودار شدت - زمان برای سه دمای مختلف
۵۱	شکل ۳-۱۱-نمودار شدت‌های جزئی ناشی از حباب آرگون در آب $20^{\circ}C$ و فشار استاتیکی $1 atm$ و فرکانس $26/5 kHz$
۵۱	شکل ۳-۱۲-نمودار شدت‌های جزئی ناشی از حباب آرگون در آب $20^{\circ}C$ و فشار استاتیکی $1 atm$ و فرکانس $26/5 kHz$.
۵۲	شکل ۳-۱۳-نمودار شدت‌های جزئی ناشی از حباب آرگون در آب $33^{\circ}C$ و فشار استاتیکی $1 atm$ و فرکانس $26/5 kHz$
۵۳	شکل ۳-۱۴-نمودار شدت نور بر حسب زمان در فشارهای استاتیکی $1/25 atm$ و $1 atm$ و $75 atm$ در دمای $20^{\circ}C$ و فرکانس $26/5 kHz$
	شکل ۳-۱۵-نمودار شعاع حباب بر حسب زمان در فشارهای استاتیکی $1/25 atm$ و $1 atm$ و $75 atm$ در

.....	53	دما $^{^{\circ}C}$ و فرکانس kHz ۲۰/۵
.....	54	شکل ۱۶-۳ نمودار فاز در فضای پارامتری (P_a , R_o) برای سه دما $^{^{\circ}C}$ ۲/۵، ۲۰ و ۳۳
.....	55	شکل ۱۷-۳- نمودار شعاع- زمان حباب اسید سولفوریک و آب
.....	56	شکل ۱۸-۳- نمودار دما- زمان حباب اسید سولفوریک و آب
.....	56	شکل ۱۹-۳- تعداد مولکول های آرگون، بخار آب و اسید سولفوریک درون یک حباب آرگون در اسید سولفوریک ۸۵wt٪ در دما $^{^{\circ}C}$ ۲۰ ۳۷/۸kHz

فهرست جداول

<u>صفحه</u>	<u>عنوان</u>
جدول ۱-۲- پارامترهای آرنیوس برای انواع برهمکنش، فرکانس‌های $k_{f,j}$ و k_b بر حسب $\text{cm}^3 \text{mol/s}$ برای برهمکنش‌های دو جسمی و $\text{cm}^6 \text{mol/s}$ برای برهمکنش‌های سه جسمی.....	۱۸
جدول ۲-۲- تعداد درجات آزادی انتقالی و دورانی و دماهای نوسانی مخصوص هر نمونه از ذرات.....	۱۹
جدول ۳-۱- خصوصیات آب در دماهای مختلف	۳۵
جدول ۳-۲- خصوصیات اسید‌سولفوریک $85\% \text{H}_2\text{SO}_4$ در دماهای مختلف	۳۶
جدول ۳-۳- غلظت‌های نسبی در دماهای مختلف	۴۷
جدول ۳-۴- ماکریم دمای درون حباب بر حسب دمای سیال برای سه دمای محیطی در فرکانس $26/5 \text{ kHz}$	۴۸
جدول ۳-۵- ماکریم شدت نور بر حسب تابعی از دمای سیال برای سه دمای محیطی در فرکانس $26/5 \text{ kHz}$	۴۹

چکیده

آودرخش تک حبابی گسیل نور به وسیله یک تک حباب گازی شناور در یک سیال است که به وسیله میدان فرماحتی به نوسان واداشته شده است. در این پایان نامه وابستگی پارامتری پدیده آودرخش تک حبابی با استفاده از یک مدل هیدروشیمیایی محاسبه و گزارش شده است. در این مدل اثر واکنش‌های شیمیایی که درون حباب اتفاق می‌افتد و نفوذ بخار آب و اتم‌های دیگر به داخل و خارج حباب در نظر گرفته می‌شود. در آغاز با استفاده از معادله رایلی-پلست، معادله حالت گاز و مدل هیدروشیمیایی، دینامیک حباب شیوه‌سازی و به صورت عددی محاسبه شد. در ابتدا تاثیر دمای سیال محیطی بر آودرخش تک حباب بررسی شد. برای این منظور آودرخش تک حباب از حباب آرگون در آب در دماهای $33^{\circ}C$ ، $20^{\circ}C$ و $2/5$ مقایسه شدند. با کاهش دمای سیال، بیشینه شعاع حباب کاهش پیدا می‌کند و متعاقب آن دمای گاز درون حباب افزایش می‌یابد که دلایل آن مورد تحلیل قرار گرفته است. افزایش دمای درون حباب نیز باعث افزایش شدت نور حاصل از SBSL می‌شود. نتایج با بعضی نتایج آزمایشگاهی موجود و محاسبات دیگران نیز مقایسه شده است. در ادامه شدتهای جزئی حاصل از SBSL که در سه کanal مختلف - بازتر کیب تابشی الکترون‌ها و یون‌ها، تابش ترمزی الکترون-یون و تابش ترمزی الکترون-اتم - محاسبه شده‌اند، با یکدیگر مقایسه و معلوم شد که شدت غالب شدت حاصل از بازتر کیب تابشی است. تاثیر فشار هیدروستاتیکی بر روی SBSL نیز نشان داد که با کاهش فشار هیدروستاتیکی ناپایداری حباب و شدت نور حاصل از آن کمتر شده و حباب‌هایی که در P_0 بالاتری قرار می‌گیرند، درخشنان‌تر هستند. نمودارهای به دست آمده باید در شرایط تعادل پختنی محاسبه شوند. به این منظور برای یک دامنه فشار تحریکی خاص، شعاع اولیه معینی برای حباب پایدار وجود دارد که رابطه آنها در نمودارهای معروف به نمودار فاز رسم شده‌اند. نتایج با نتایج تجربی موجود نیز مقایسه شدند. در پایان مقایسه‌ای بین SBSL آرگون در آب و SBSL آرگون در مخلوط آب و اسید سولفوریک ۸۵wt٪ صورت گرفته است و مشخص شد که حباب درون اسید درخشنان‌تر از حباب موجود در آب است. همچنین بیشینه شعاع بهنجار شده حباب آب بیشتر از اسید سولفوریک است و زمان رسیدن به بیشینه شعاع و زمان فروریزش در اسید نسبت به آب با تاخیر اتفاق می‌افتد که در مورد دلایل آن بحث شده است.

۱- پیش‌گفتار

فصل اول

مقدمه

آودرخش تک حبابی^۱ (SBSL) [۲، ۱] گسیل نور به وسیله یک تک حباب گازی شناور در یک سیال است که به وسیله میدان فرماصوتی به نوسان واداشته شده است. در این فرآیند، حباب دستخوش چرخه‌های انبساط - انقباض متعدد می‌شود که در پاسخ به یک میدان صوتی اعمال شده در طول زمان می‌باشد. در نتیجه هر فرو ریزش، یک فلاش نور توسط حباب گاز گسیل می‌شود^[۳]. اگر چه هنوز نظریه جامعی برای توضیح کامل این پدیده ارائه نشده است، اما برخی از آنها، مانند مدل هیدروشیمیایی انطباق بسیار خوبی را با نتایج تجربی دارد^[۴]. در این مدل تمام واکنش‌های شیمیایی درون حباب به همراه نشت و ورود ذرات به حباب در نظر گرفته می‌شود و تاکنون کامل‌ترین مدل ارائه شده است. بر مبنای این مدل، در طول انقباض، فشار و دمای گاز درون حباب به شدت افزایش می‌یابد. در اثر تراکم شدید و نزدیک به بی‌درروی گاز درون حباب، الکترون‌های اتم‌های موجود در محیط جدا می‌شوند و در چنین دمای بالایی پلاسمما به وجود می‌آید. این فرایند در طول رمبش حباب اتفاق می‌افتد و نور از محیط پلاسمایی گسیل می‌شود.

برای یک حباب نوعی با شعاع معین پوترمن^۲ پیشنهاد کرد که اندازه حباب با شعاع اولیه آن در ابتدای آزمایش تعیین نمی‌شود بلکه با دامنه فشار و فرکانس موج فرماصوتی مشخص خواهد شد^[۵].

۱- Single-Bubble Sonoluminescence

۲- Puterman

این بدان معنی است که شعاع حباب از یک مقدار اولیه تا مقداری که با پخش گاز به پایداری می‌رسد، تغییر می‌کند^[۶]. حباب‌گیرافتاده در تله صوتی وقتی تحت تأثیر میدان فراصوت خارجی قرار می‌گیرد در قسمت منفی دامنه فشار منبسط می‌شود. به علت کاهش فشار درون حباب مقداری از مولکول‌های سیال اطراف به داخل نفوذ می‌کند. بر عکس در موقع انقباض حباب مقداری از گازهای جبس شده درون آن به خارج از حباب، به درون مایع، نفوذ می‌کند. در این هنگام فشار درون حباب افزایش یافته است. شعاع حباب در شرایط پایدار با مساوی قرار دادن جریان ورودی در مرحله انبساط و جریان خروجی در مرحله انقباض به دست می‌آید. اما هیچ نظریه‌ای نمی‌تواند شعاع حباب را در شرایط پایدار پیشگویی کند. به عبارت دیگر شرایط "حفره‌سازی پایدار"^۱، که برای آوارد خش تک‌حبابی (SBSL) لازم است، هنوز به صورت نظری شناخته شده نیست.

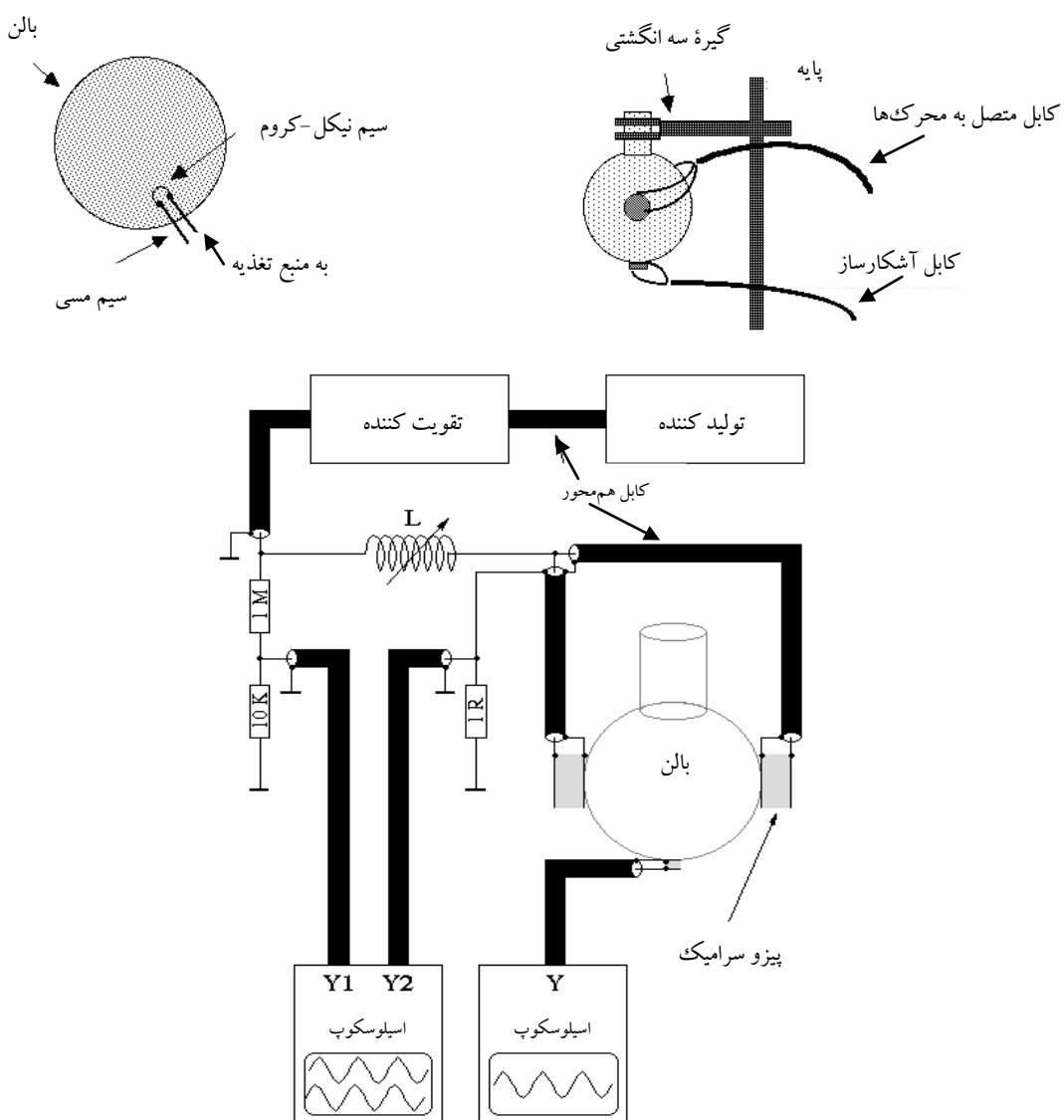
با وجود اینکه SBSL به صورت تجربی به سادگی قابل دستیابی است [۱، ۲]^[۲]، اما وجود مسائلی چون طول عمر کوتاه فلاش (100 ps)، کوچک بودن حجم تابنده (10^{-13} cm^3) و حساسیت فوق العاده داده‌ها به شرایط آزمایشگاهی، به دست آوردن مجموعه اطلاعات کافی را برای بنا نهادن و معتبر ساختن مدل‌های نظری دشوار می‌سازد.

۱-۲- قاریخچه

هنگامی که حباب گازی ایجاد شده در یک سیال از خود نور ساطع می‌کند پدیده آوا درخش رخ داده که به طور تصادفی توسط مارینسکو و تریلات در ۱۹۳۳ کشف شد^[۷]. آنها پی برند که صفحه عکاسی که در آب (مایع) تحریک شده به وسیله امواج فرا صوتی قرار گرفته، تیره شده است. در ۱۹۳۴ فرنزل و شولتس توضیح دادند که تیرگی به خاطر گسیل نور از آب است^[۷]. از آن به بعد آوارد خش (SL) هم به صورت تجربی و هم به صورت نظری مورد مطالعه و بررسی قرار گرفته است^[۷]. در ۱۹۸۸ فیلیپ گیتان برای اولین بار به صورت تجربی و اصولی SBSL را مشاهده کرد. وی شرایط لازم برای پایداری یک تک حباب نور گسیل را برای چندین ساعت فراهم کرد. مهمترین تغییری که گیتان اعمال کرد استفاده از آبی بود که تا اندازه‌های گاز زدایی شده، به گونه‌ای که غلظت گازهای محلول در آن کمتر از نصف مقدار معمول باشد. نتیجه این شد که آستانه دامنه فشار برای حباب‌سازی آب افزایش یافت و بنابراین دامنه‌های فشار برای گسیل نور به اندازه کافی بزرگ می‌شوند. مسئله مهم دیگر آن که فرکانس صوتی تحریکی روی مقدار تشديدي تنظيم شده بود که به تولید امواج ایستاده درون آب منجر می‌شود و حباب را، بر خلاف نیروی بالابر، درون آب شناور نگه می‌دارد^[۸]. بعد از آن گروههای زیادی موفق به رؤیت SBSL شدند^[۳].

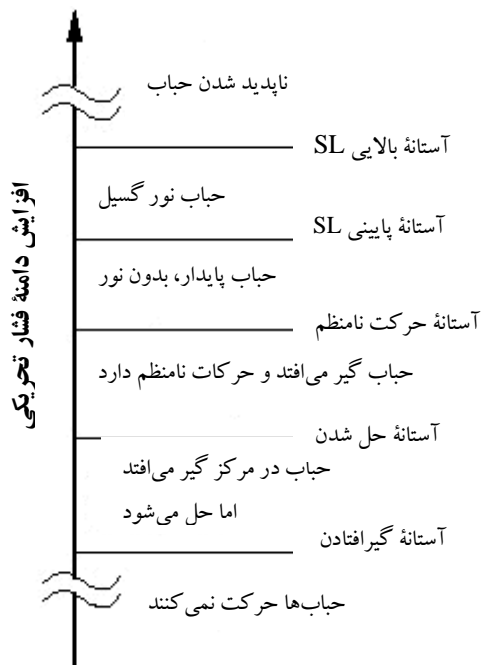
۱-۳-۱-آودرخش تک حبابی

شکل ۱-۱ یک پیکربندی نوعی برای تولید نور از حباب را نشان می‌دهد. به یک بالن آزمایشگاهی پر از آب قطر میدان فرا صوتی اعمال می‌شود. این کار توسط مبدل های پیزوالکتریک که به بالن متصلند صورت می‌گیرد. فرکانس میدان تحریکی به گونه ای انتخاب می‌شود که یک موج ایستاده درون بالن ایجاد کند(از مرتبه cm). سپس یک پالس جریان به وسیله سیمی از جنس نیکل-کروم درون بالن جریان می‌یابد. در اثر این جریان آب نزدیک سیم به جوش می‌آید و حباب‌هایی داخل آن تولید می‌شود. این پدیده را حباب سازی می‌گویند. از آنجا که حتی آب گاز زدایی شده نیز حاوی مقداری هواست، حباب‌ها به سرعت از گاز غیر تراکم پذیر(هوای پر می‌شوند. سپس میدان تحریکی حباب‌ها را در شکم فشار با هم ادغام می‌کند تا اینکه تنها یک تک حباب باقی بماند(SBSL).



شکل ۱-۱-نمایی از یک پیکربندی آودرخش (توضیحات در متن)

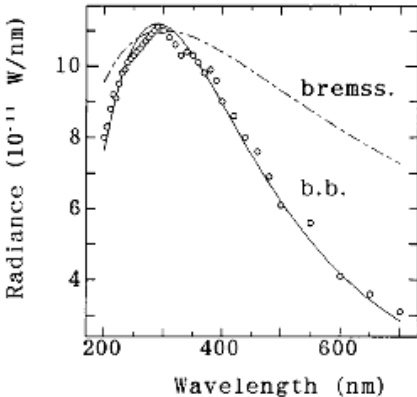
هر گاه دامنه موج فراصوتی نسبتاً کم باشد، تک حباب به صورت پایداری نوسان می‌کند(حباب سازی پایدار). در بالای آستانه دامنه موج فراصوتی، وقتی که تک حباب رمبیده می‌شود، حباب به صورت تناوبی از خود نور گسیل می‌کند[شکل ۱-۲].



شکل ۱-۲- افزایش دامنه فشار صوتی تا حد آستانه به گسیل نور می‌انجامد.

این وضعیت - همان طور که پیشتر گفته شد - "آوارد خش تک حبابی" نامیده می‌شود که گاهی نه تنها به گسیل نور بلکه به نوسانات پایدار حباب نیز گفته می‌شود. در شرایط SBSL گسیل نور در هر سیکل صوتی رخ می‌دهد. میزان انحراف از مقدار متوسط مدت زمان دو فلاش متواالی کمتر از $50ps$ گزارش شده است^[۳]. همچنین بازه زمانی بین دو فلاش متواالی دقیقاً مشابه دوره تناوب موج فراصوتی است^[۹]. در زیر برخی از ویژگی‌های مهم SBSL که از نتایج تجربی به دست آمده‌اند به طور خلاصه ذکر می‌شود:

- ۱- پهنتای پالس کمتر از $50ps$ است.
- ۲- میزان انحراف از مقدار متوسط مدت زمان دو فلاش متواالی کمتر از $50ps$ است.
- ۳- طیف SBSL از یک حباب هوا دارای یک پهنتای باند و با طیف جسم سیاه مطابق است (شکل ۱-۱۰). دمای جسم سیاه، از مرتبه K^{-10^4} ، وابسته به شرایط فیزیکی آزمایشگاهی از جمله دمای محیط و دامنه موج فراصوتی است. SBSL با چشم غیر مسلح دیده می‌شود و نور آن آبی رنگ است.



شکل ۱-۳- مقادیر تجربی (دایره های تو خالی) با طیف جسم سیاه مطابقت خوبی دارد در حالی که با نتایج مدل تابش گرمایی که یاسویی به کار گرفته است، انطباق خوبی نشان نمی دهد.

- ۴- شدت تابش با کاهش دمای سیال افزایش می یابد.
- ۵- افزودن حجم گاز نجیب به یک حباب نیتروژن در حدود ۱٪ به طور قابل توجهی شدت نور را زیاد می کند [۱۱]. مثلاً شدت نور از حبابی که شامل ۹۹٪ نیتروژن و ۱٪ آرگون است ۱۰۰ برابر بزرگتر از همان حباب با نیتروژن خالص است. گرچه شدت نور با افزایش مقدار گاز نجیب بیشتر از ۱٪ کاهش می یابد با این وجود هنوز هم شدت نور حاصل از یک حباب خالص آرگون بزرگتر از یک حباب خالص نیتروژن است.
- ۶- طیف SBSL قویاً وابسته به نوع گاز درون حباب است: زنون یک قله طیفی در حدود ۳۰۰ nm دارد، در صورتی که طیف هلیم به سمت ماوراء بنفس ایک قطع شدگی دارد.
- ۷- با افزایش دامنه موج فراصوتی شدت نور زیاد می شود. البته بالای یک آستانه معین دامنه، هیچ حباب پایداری وجود ندارد و SBSL مشاهده نمی شود.

۱-۴- کاربردها

جستجوهای نظری و آزمایشگاهی در زمینه آوارد خش تک حبابی هنوز ادامه دارد. اصولاً از کشف این پدیده به صورت مدون بیشتر از چند سال نمی گذرد و SBSL هنوز کاربرد تجاری پیدا نکرده است. هر چند می توان برخی از موارد کاربرد SBSL را اشاره کرد. مثلاً به عنوان یک منبع پالس های نور پیکوثانیه ای یا به عنوان یک ساعت، چون خصلت تناوبی SBSL عالی است. از طرف دیگر از دما و فشار بالای درون حباب می توان بهره برد. مثلاً از آوارد خش چند حبابی^۱ (MBSL) در واکنش های شیمیایی استفاده شده است [۱۲]، که به سونو شیمی معروف است. در این مورد شدت ها مهم نیستند، بلکه دما و فشار بالا اهمیت دارند. خصوصاً مدت زمان کوتاه دما و فشار بالا می تواند بسیار

مفید باشد. آهنگ سرد شدن درون حباب بسیار بزرگتر از آهنگی است که از یک، ابزار شیمیایی معمولی به دست آید. نوسانات حباب برای تولید آهن آمورف مفید است [۱]. ترکیبات آهن درون حباب به اتم هایش تجزیه می شوند و در پی آن آهن آمورف در نتیجه آهنگ بالای سرد شدن تشکیل می شوند (اتم های آهن نمی توانند متبلور شوند). جذاب ترین کاربردها، در حال حاضر، همجوشی هسته ای است که در آزمایشگاه ملی لاورنس لیورمور [۱۳] انجام شده است. آنها ادعا می کنند که دما و فشار بالای درون حباب می توانند نوعی همجوشی هسته ای داخل حباب به وجود آورد: امواج صوتی اعمال شده بر مایعی که در بالن قرار داده شده بود، حباب هایی به وجود می آورد که قبل از اینکه از بین بروند، منبسط می شوند. در این آزمایش تریتیوم با یک انرژی مشخصه - در حدود $2/5\text{MeV}$ - مشاهده شد. جزئیات این بررسی ها در فصل چهارم خواهد آمد.

پایان نامه حاضر شامل چهار فصل است. فصل دوم مروری بر دینامیک حباب و معادلات حاکم بر نوسانات SBSL دارد. در این فصل معادله رایلی- پلست، که اصلی ترین معادله حاکم بر حباب است، و معاله حالت گاز، که تحول گاز درون حباب را در هر لحظه نشان می دهد، و نیز چگونگی واکنش های شیمیایی، انتقال جرم، ناپایداری های سطحی، مکانیزم های گسیل نور و روش عددی به کار رفته بحث خواهد شد. در فصل سوم به بررسی شبیه سازی انجام گرفته در زمینه دینامیک حباب و مدل هیدروشیمیایی خواهیم پرداخت. این فصل همچنین نتایج به دست آمده را در بر می گیرد که شامل بررسی تأثیر عوامل مختلف بر شدت نور به دست آمده از آواردرخش تک حبابی است. در این بخش تأثیر دامنه فشار صوتی، نوع مایع، دمای سیال محیطی، که پارامترهایی قابل تنظیم هستند، بر شدت نور و سایر کمیت ها بررسی شده است. با توجه به نتایج آزمایشگاهی موجود، فرکانس میدان صوتی و غلظت گاز حل شده در سیال را نیز تغییر داده ایم. همچنین تأثیر فرکانس میدان صوتی و غلظت گاز حل شده در سیال را بر این پدیده بررسی و با نتایج آزمایشگاهی مقایسه کرده ایم.

فصل دوم

بحث نظری دینامیک حباب

در این فصل ابتدا به صورت مختصر به تعریف برخی کمیت‌های مرتبط با پدیده آودرخش می‌پردازیم و بعد از آن معادلات حاکم بر مجموعه سیال و حباب را شرح خواهیم داد. در پایان نیز ساز و کارهای گسیل نور توضیح داده شده است.

۱-۲- تعاریف

لزجت^۱

سیال ماده‌ای است که تحت اثر یک تنش برشی – هر چند هم که کوچک باشد – بی‌وقفه تغییر شکل می‌دهد. تنش برشی، مؤلفه مماسی نیروی وارد به سطح است. نسبت نیروی برشی به مساحت، تنش برشی متوسط نامیده می‌شود. حد نسبت مزبور، هنگامی که سطح به سمت نقطه میل کند، تنش برشی در آن نقطه است. گرادیان سرعت را می‌توان آهنگ حرکت یک لایه سیال نسبت به لایه مجاور آن دانست.

بنابراین به فرم دیفرانسیلی داریم [۱۶]:

$$\tau = \mu \frac{du}{dy} \quad (1-2)$$

که در آن μ لزجت، u سرعت سیال و τ تنش برشی است.

۱- Viscosity

معادله فوق رابطهٔ تنش برشی و آهنگ تغییر شکل زاویه‌ای برای جریان یک بعدی سیال است. این معادله به نام قانون لزجت نیوتون معروف است. ملازجت می‌نامند. اگر ملازجت ثابت باشد، سیال را نیوتونی و در غیر اینصورت غیر نیوتونی می‌گویند. در مطالعهٔ جریان سیال لازم است که در بین تمام خواص سیال بیش از همه به لزجت توجه کنیم. لزجت خاصیتی است که سیال به واسطهٔ آن در مقابل تنش برشی مقاومت می‌کند. با افزایش دما، لزجت گازها افزایش اما لزجت مایعات کاهش می‌یابد. در مایعات فاصلهٔ مولکول‌ها بسیار نزدیک‌تر از گازهاست. لذا نیروی جاذبهٔ مولکولی در مایعات بسیار بیشتر از گازهاست. عامل اصلی لزجت مایعات نیروی جاذبهٔ مولکولی است. حال از آنجا که با افزایش دما نیروی جاذبهٔ مولکولی کاهش می‌یابد، لزجت مایعات نیز کاهش می‌یابد. اما در گازها جاذبهٔ مولکولی بسیار کم است. مقاومت گازها به تنش برشی عمده‌تاً ناشی از تبادل تکانهٔ مولکولی است. در فشارهای معمولی، لزجت سیال مستقل از فشار است و فقط به دما بستگی دارد.

حفره‌سازی^۱

در تأسیسات آبی در بسیاری موارد ممکن است، در محل‌های خاصی فشارهای بسیار کمی ایجاد شود. اگر فشار به فشار بخار مایع برسد و یا از آن کمتر شود، مایع به بخار تبدیل می‌شود. حباب‌های بخار تشکیل شده، به سرعت منبسط می‌شوند. این پدیدهٔ حفره‌سازی نامیده می‌شود[۱۴]. معمولاً حباب‌های بخار از نقطهٔ تشکیل خود، جای‌جا شده و با جریان مایع به ناحیه‌ای برده می‌شوند که فشار آن از فشار بخار بیشتر است. در این ناحیهٔ حباب‌ها می‌ترکند.

کشش سطحی

در سطح مشترک یک مایع و یک گاز، یا دو مایع غیر محلول، به نظر می‌رسد که فیلم یا لایهٔ مخصوصی تشکیل می‌شود که ظاهراً ناشی از نیروی جاذبهٔ بین مولکول‌هایی است که روی سطح قرار دارند. مثال این پدیدهٔ شناور شدن سوزن روی آب است. به این اثر کمیتی نسبت می‌دهیم که کشش سطحی، σ ، گفته می‌شود و واحد آن در دستگاه SI نیوتون بر متر است.

۲-۲- معادلهٔ رایلی - پلست

به استثنای یک بازهٔ زمانی در حدود 200 ns ، هنگامی که حباب نزدیک شعاع کمینه‌اش، R_{\min} ، است، سرعت دیوارهٔ آن، $\dot{R}(t)$ ، کمتر از 10^6 سرعت اولیهٔ صوت در گاز می‌باشد و کمتر از 10^4 سرعت صوت در آب است[۹]. بنابراین در 95% سیکل صوتی هیدرودینامیک، عدد ماخ پایین را برای توصیف

۱- Cavitation